



La microtomographie à rayons X pour le bois

Outils, usages et perspectives

Eric BADEL

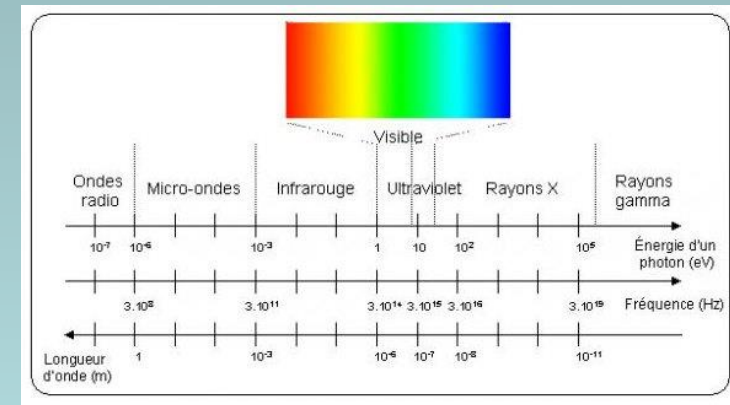


UMR PIAF, INRA-UBP 5 chemin de Beaulieu, Clermont Ferrand

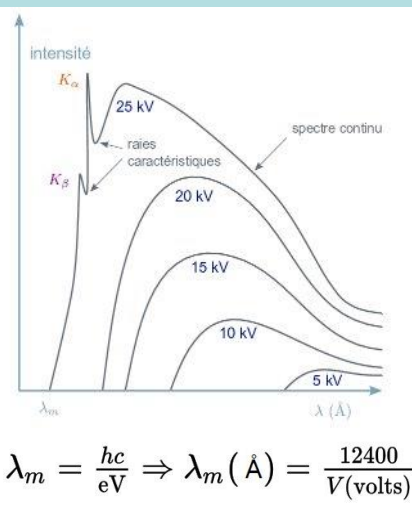
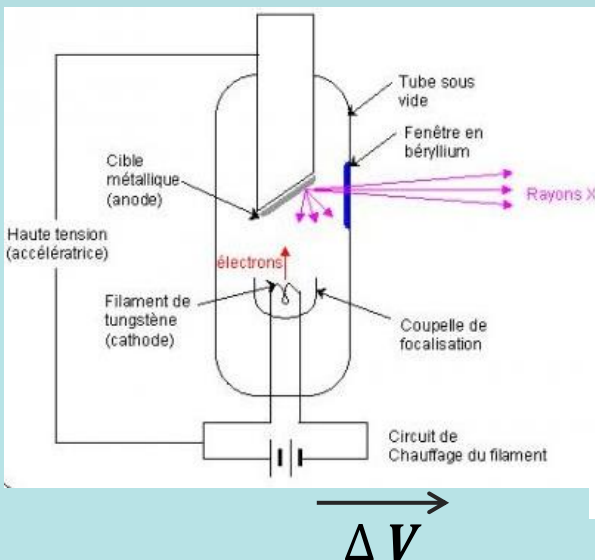


Rayonnement X

Le rayonnement X est une onde électromagnétique résultant de l'accélération d'électrons

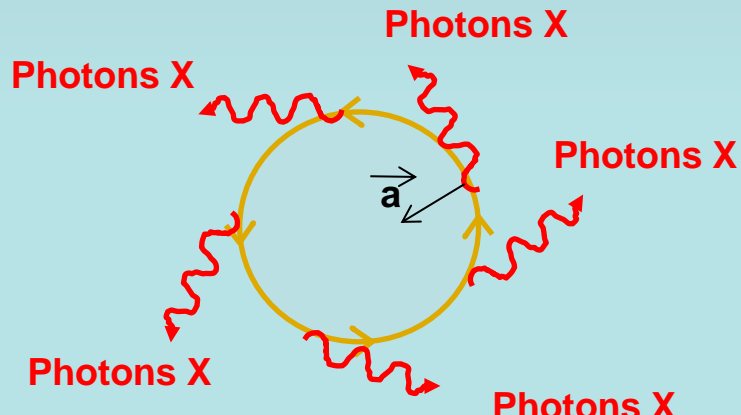


Freinage sur une anode + excitation de la cible
(tube X)

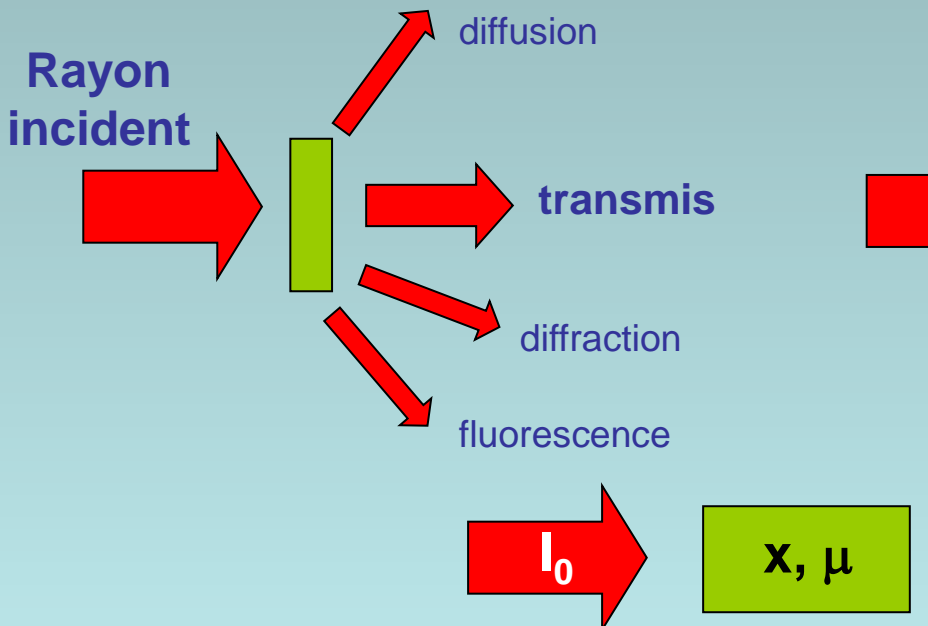


$$\lambda_m = \frac{hc}{eV} \Rightarrow \lambda_m (\text{\AA}) = \frac{12400}{V(\text{volts})}$$

Accélération centrifuge (synchrotron)



Atténuation des rayons X par la matière

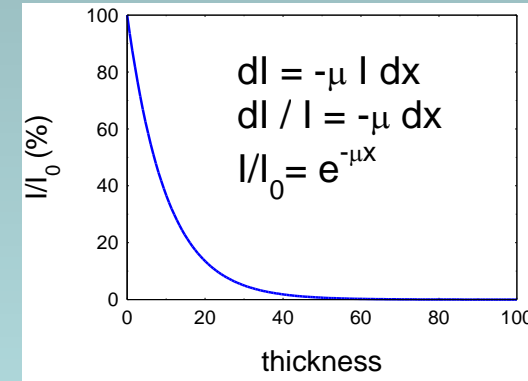


$$dI = -\mu I dx$$

$\frac{dx}{\square}$

I

$I + dI$



$$\ln\left(\frac{I}{I_0}\right) = -\mu X$$

μ : l'atténuation des rayons X par la matière dépend de:

- le numéro atomique des constituants chimiques (Z^3)
- la densité de la matière
- l'énergie du rayonnement incident !!!

TABLEAU PÉRIODIQUE DES ÉLÉMENS

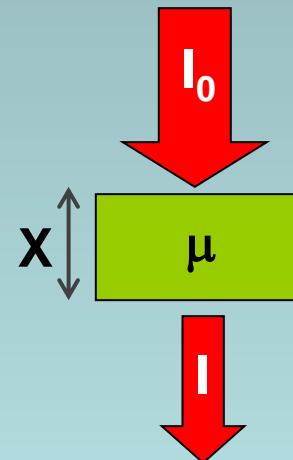
1	2	3	4	5	6	7	8	9	10	11	12	13	14	15	16	17	18
H	He	Li	Be	B	C	N	O	F	Ne	Na	Mg	Al	Si	P	S	Cl	Ar
Li	Li	Li	Be	B	C	N	O	F	Ne	Mg	Mg	Al	Si	P	S	Cl	Ar
Li	Li	Li	Be	B	C	N	O	F	Ne	Mg	Mg	Al	Si	P	S	Cl	Ar

Bois : cellulose $C_6H_{12}O_6$ peu atténuant

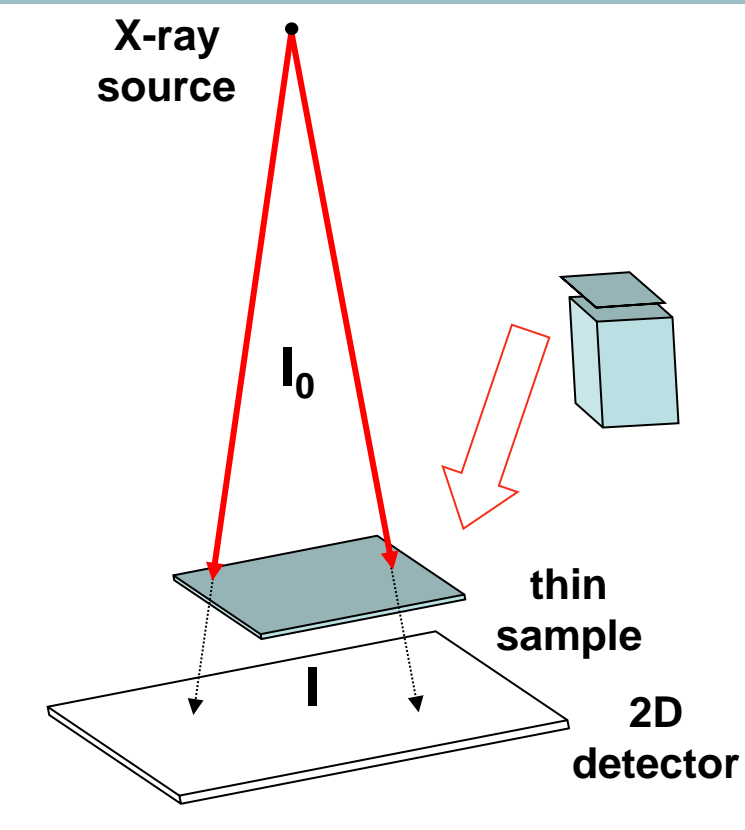
Choix du rayonnement incident

Projection simple 2D : la radiographie X

Röntgen 1895



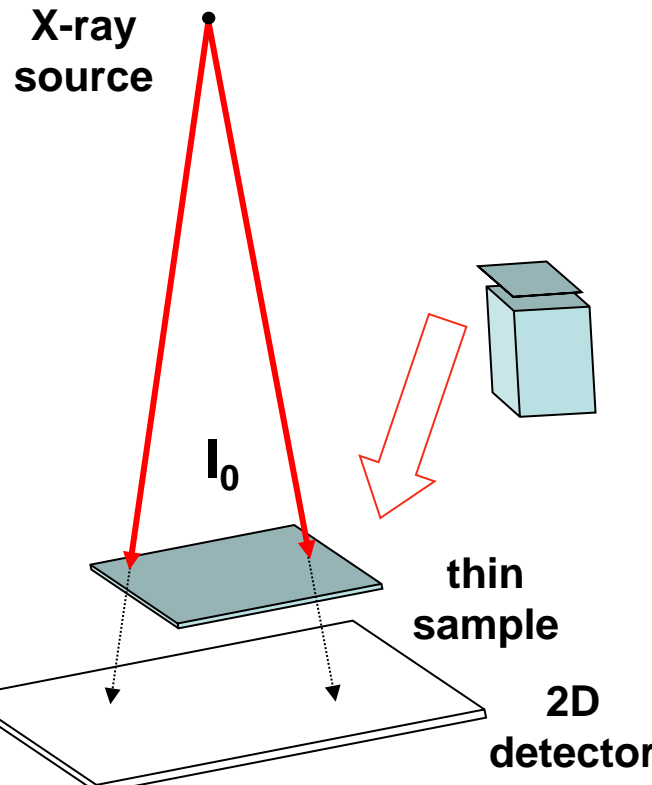
$$\ln\left(\frac{I}{I_0}\right) = -\mu X$$



- information intégrative sur l'épaisseur de l'échantillon
- ce que l'on mesure : μX

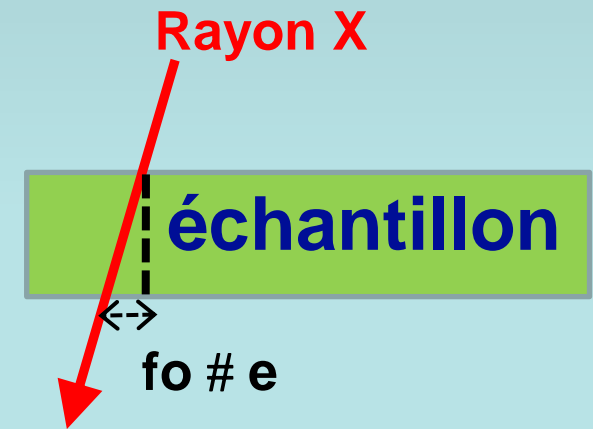
Projection simple 2D : la radiographie X

Résolution et limites



$$\text{resolution pixel} = \frac{\text{resolution detecteur}}{M}$$

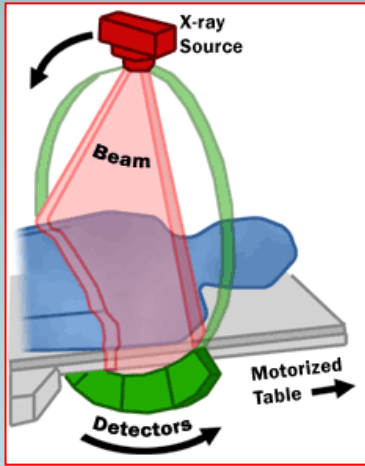
$$M = \frac{|\text{source} - \text{échantillon}|}{|\text{source} - \text{détecteur}|}$$



- Flou « échantillon » lié à l'épaisseur de l'échantillon et amplifié par le grossissement
- Résolution spatiale définie par celle du détecteur et le grossissement X
- Solution: échantillon très fin

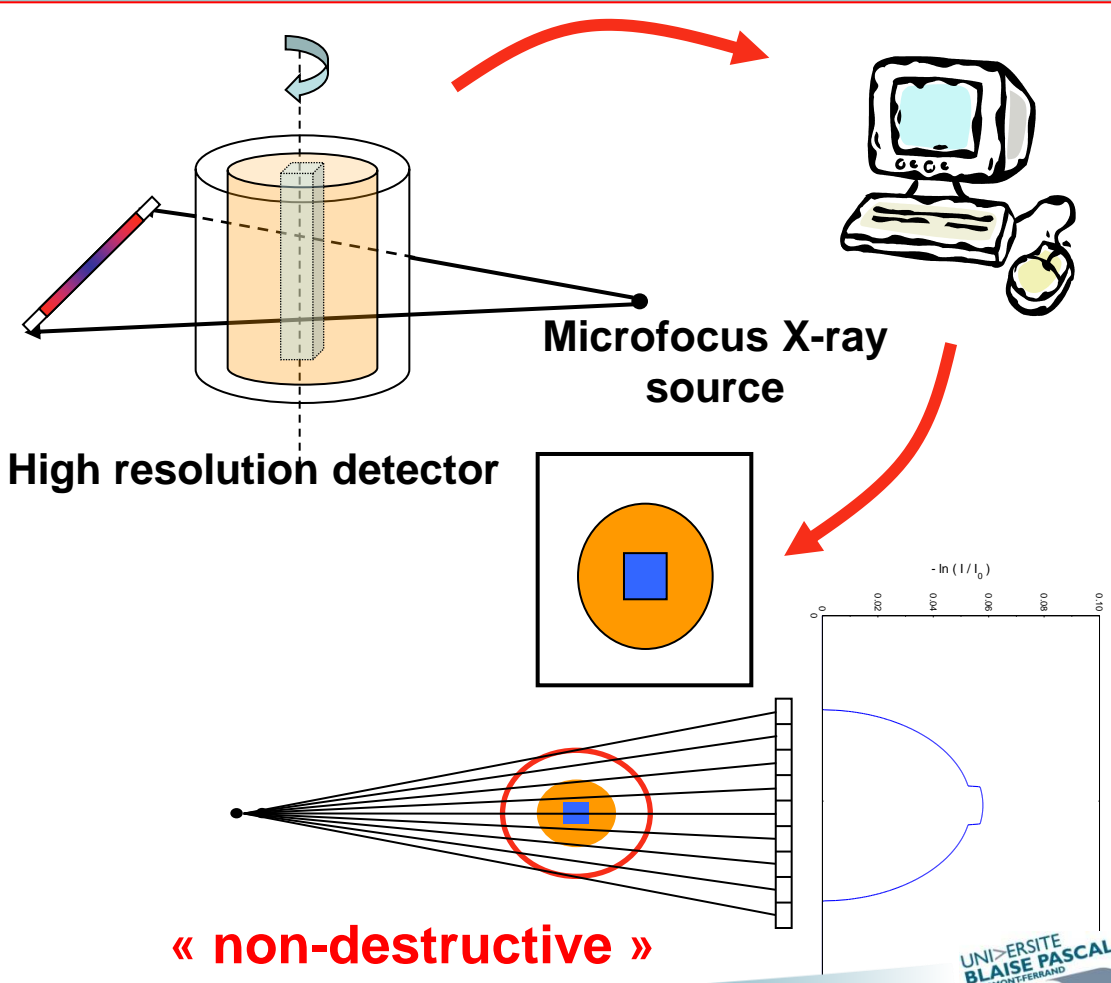
(micro)tomographie à rayons X 2D

Scanner médical

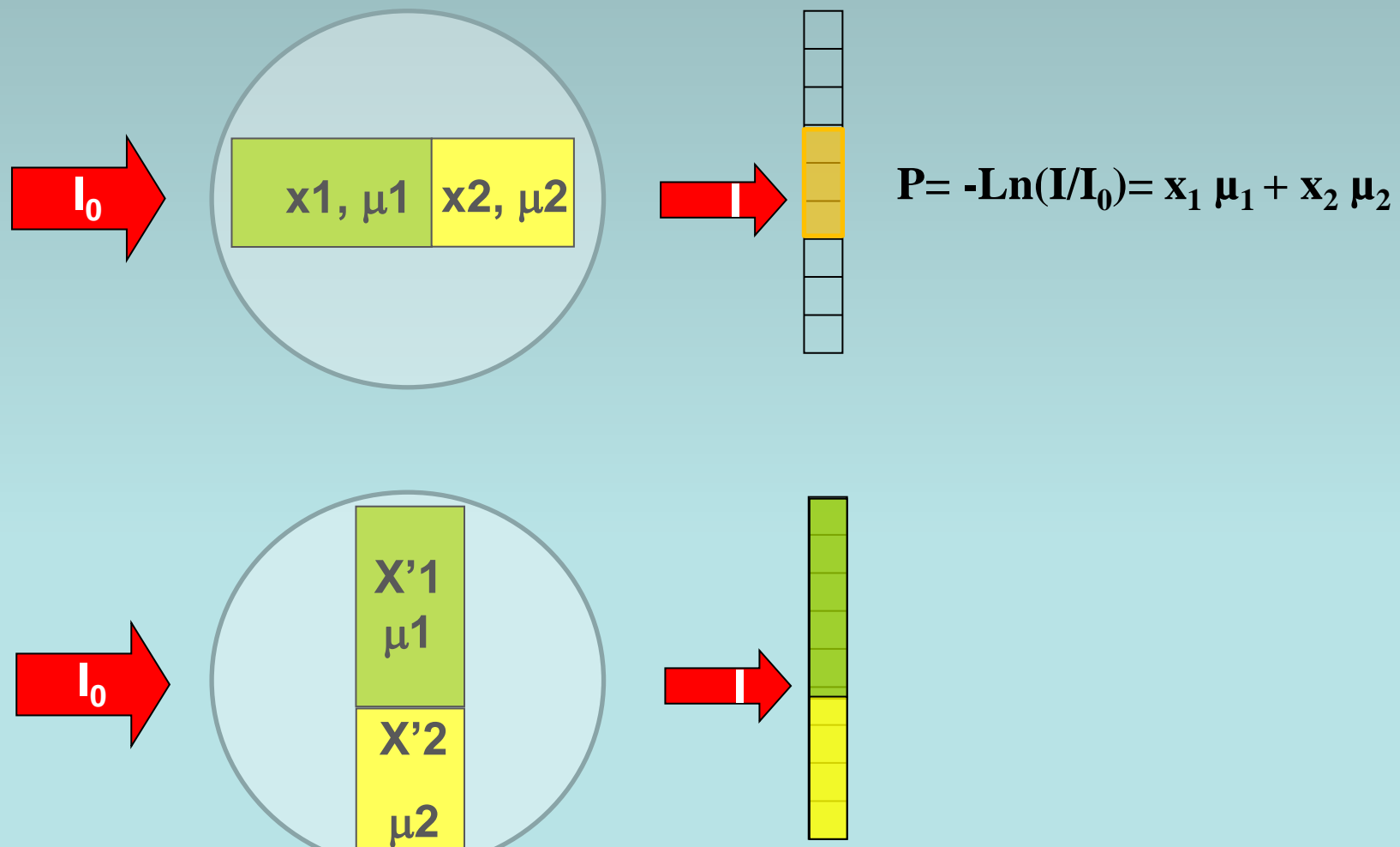


J. Ruelle (INRA-Nancy)

Microtomographie 2D (haute résolution)



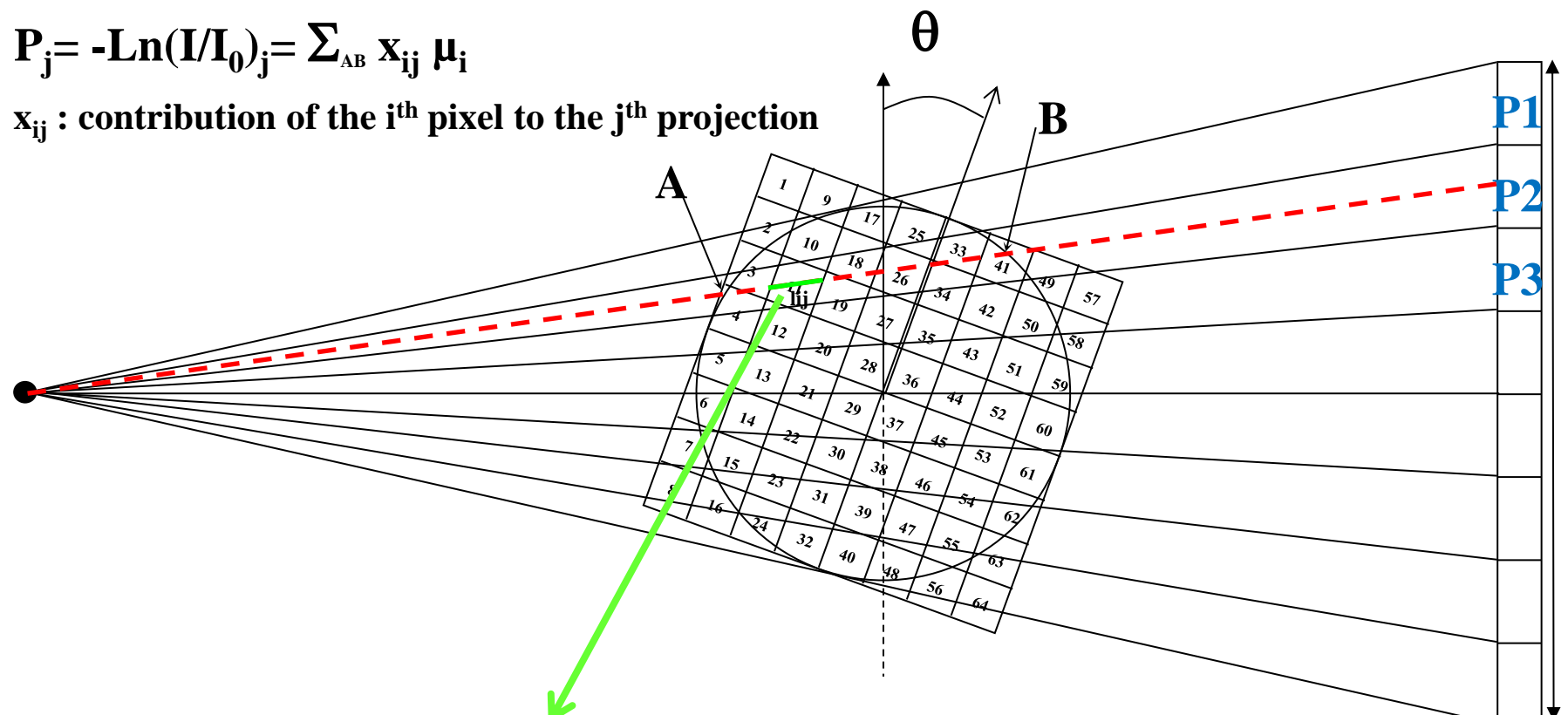
Reconstruction tomographique (2D)



Reconstruction tomographique (2D)

$$P_j = -\ln(I/I_0)_j = \sum_{AB} x_{ij} \mu_i$$

x_{ij} : contribution of the i^{th} pixel to the j^{th} projection



$$P_2 = -\ln(I/I_0)_2 = x_{4,2} \mu_4 + x_{11,2} \mu_{11} + x_{19,2} \mu_{19} + x_{18,2} \mu_{18} + x_{26,2} \mu_{26} + x_{33,2} \mu_{33} + x_{41,2} \mu_{41}$$



Experimental measurements

Unknowns

Geometrical computation

Reconstruction tomographique (2D)

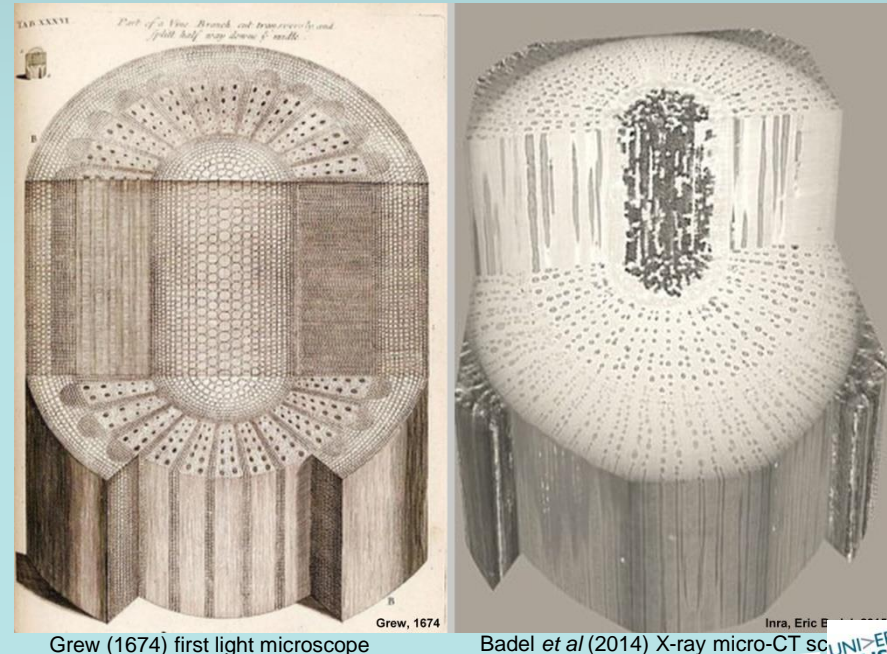
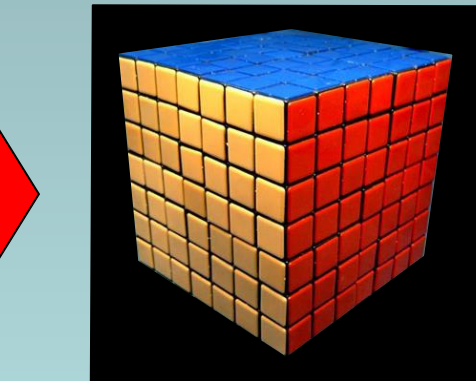
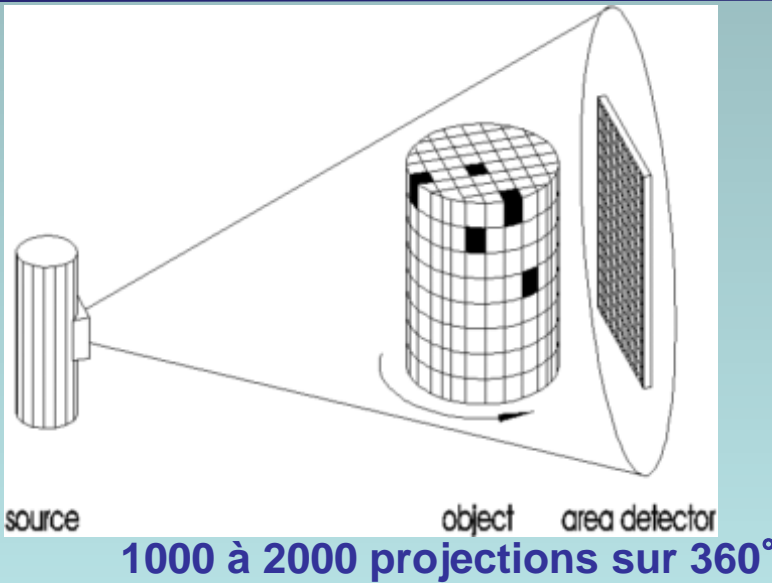
$$\left. \begin{array}{l} P_1 = -\ln(I/I_0)_1 = \sum x_{i1} \mu_i \\ P_2 = -\ln(I/I_0)_2 = \sum x_{i2} \mu_i \\ \vdots \\ P_N = -\ln(I/I_0)_N = \sum x_{iN} \mu_i \end{array} \right\} \quad \left. \begin{array}{l} \theta=0^\circ \\ \vdots \\ \theta=360^\circ \end{array} \right\}$$

Exemple :

- Nombre de détecteurs: 1000
- Inconnues : carré de 1000 x 1000
- Nombre d'équations : nb de détecteurs x nombre d'incrément de rotation
- Méthodes algébriques :
Système à 1 000 000 inconnues à résoudre
avec 1 000000 équations
- Transformée de Fourier
Algo de Felkamp, etc...
- Résultat : une cartographie 2 D
des coefficients d'atténuation μ_i ,
dépendants de la nature du rayon incident

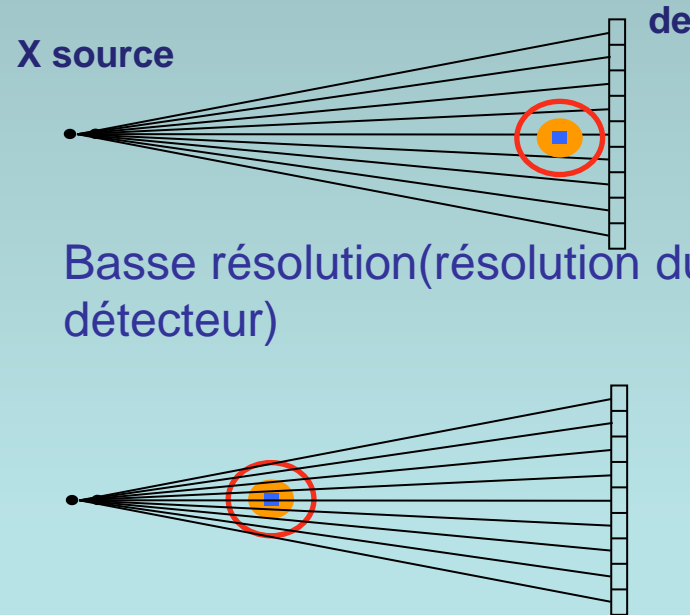
1	9	17	25	33	41	49	57
2	10	18	26	34	42	50	58
3	11	19	27	35	43	51	59
4	12	20	28	36	44	52	60
5	13	21	29	37	45	53	61
6	14	22	30	38	46	54	62
7	15	23	31	39	47	55	63
8	16	24	32	40	48	56	64

Microtomographie 3D



Contraintes

Champ d'observation vs résolution

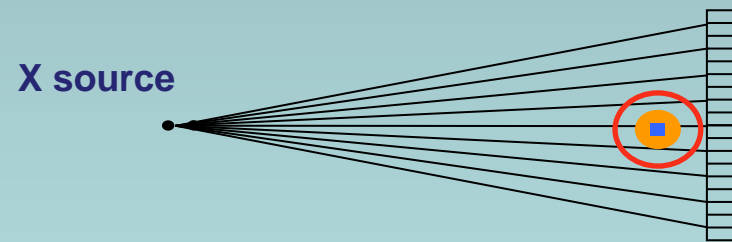


Haute résolution (grossissement M)

$$\text{pixel resolution} = \frac{\text{detector resolution}}{M}$$

$$M = \frac{|\text{source} - \text{detector}|}{|\text{source} - \text{sample}|}$$

Résolution spatiale vs temps d'acquisition

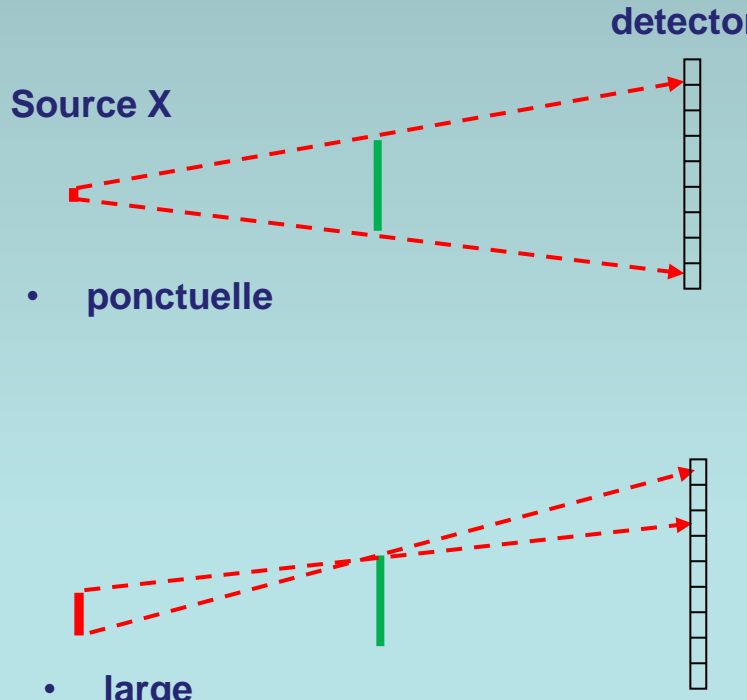


Petits détecteurs:

- Faible signal (faible S/B)
- Compensation par des projections de longue durée
- Beaucoup de projections

Contraintes

Résolution spatiale vs type de source



$$\text{flou pixel} = \text{diamètre du spot} \times M$$



Rayonnement Synchrotron:

- Très haut flux
- Faisceau parallèle (monochromatique ou non)
- DéTECTEURS à très haute résolution spatiale



- Haute résolution
- Scans rapides
- Toujours le compromis résolution spatiale vs champ d'observation

Les outils (2D->3D)

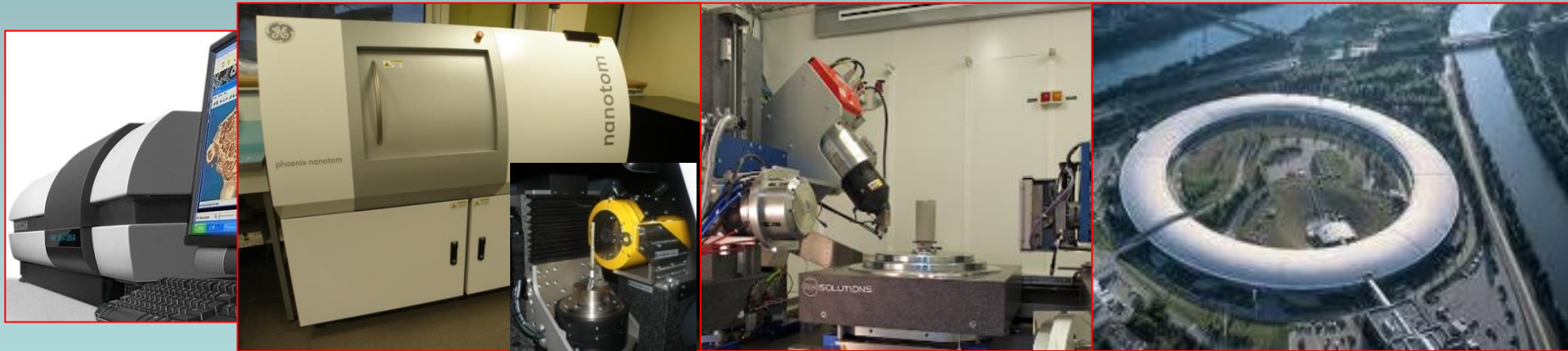
Scanner médical



J. ruelle



Les outils (2D->3D)



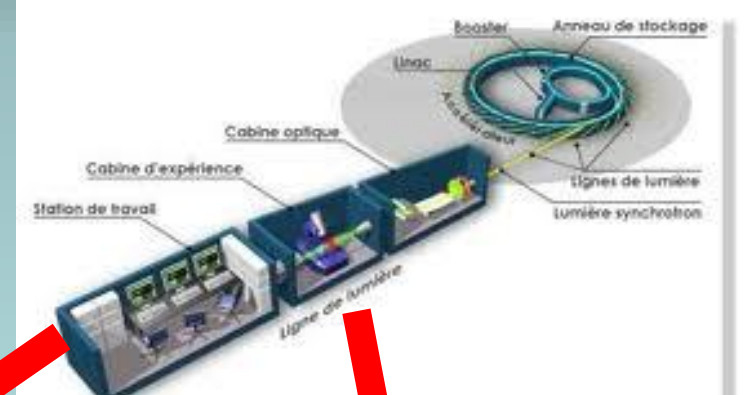
Small lab device

Lab device

Synchrotrons facilities

X-ray	Polychromatic	Polychromatic	Monochromatic
Beam	Divergent	Divergent	Parallel
Spatial resolution	5-10 microns	1 micron	0.3 micron
Max sample size	4-5 cm	10-20 cm	1 mm
File size	16 Go	32 Go	64 Go or more
Scan time	10 min to 1 hour	10 min to 1 hour	1 s to few minutes

The synchrotron lights



UNIVERSITÉ
BLAISE PASCAL
CLERMONT-FERRAND
BP

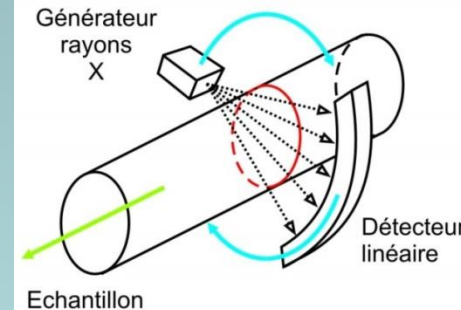
Applications sur le bois

X ray medical scanner for Wood inspection

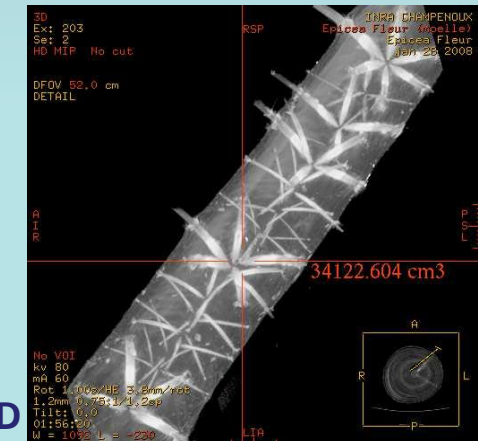


J. ruelle

Gros objets



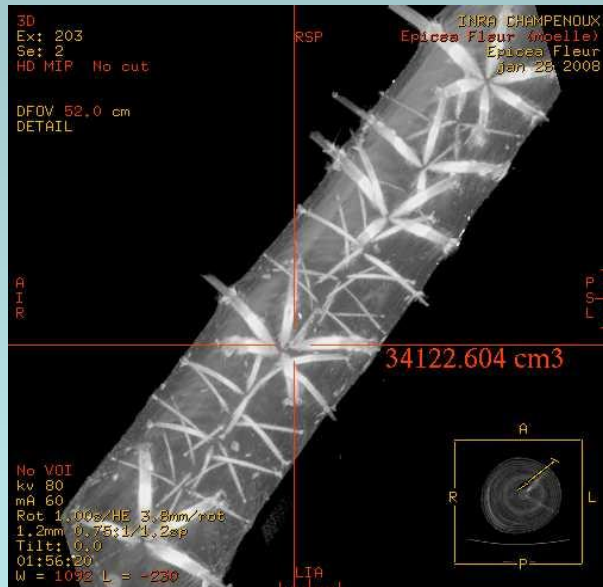
Interpolation entre les tranches -> 3D



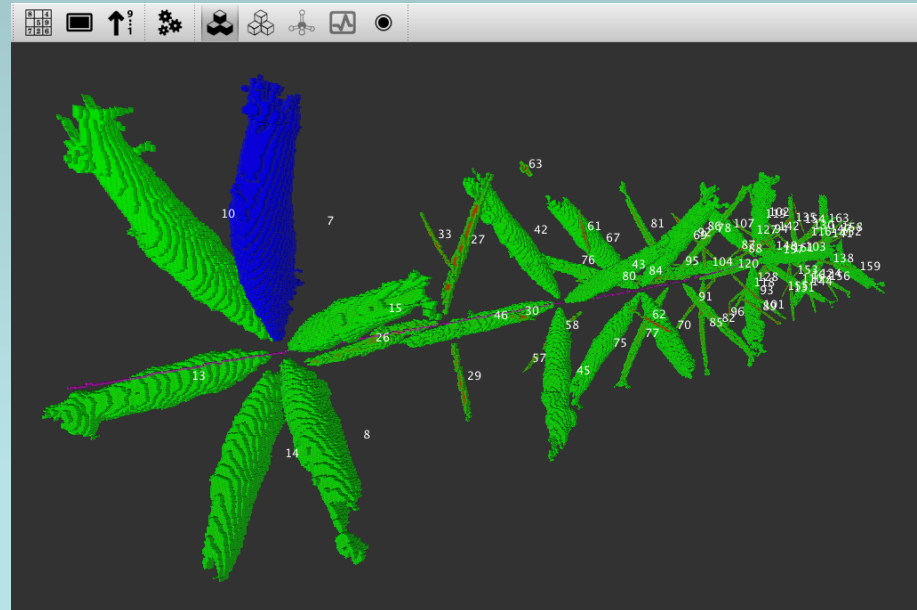
Application : structures du tronc

Détection de noeuds

Exemple : épicea



3D view built from 2D slices stacking



3D rendering of automatic nodes detection

Application : structures du tronc



Etude de la croissance primaire par détection automatique des trajectoires de la moelle

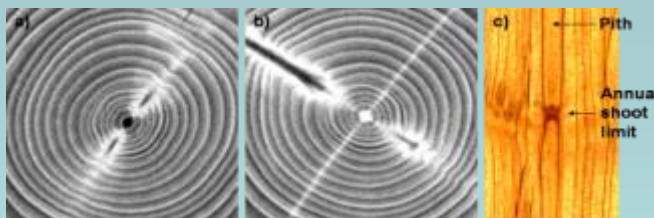
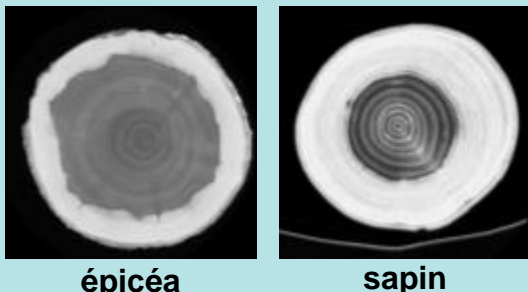
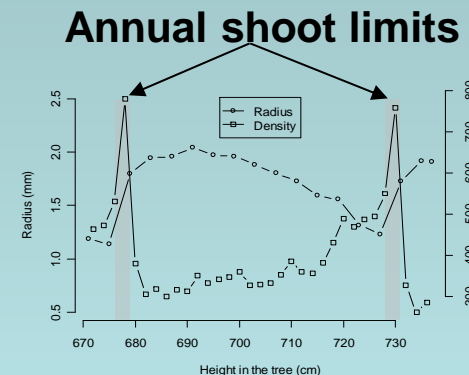


Illustration de la variation de densité de la moelle au niveau des unités de croissance primaire

Distinction aubier / duramen par le biais de la densité et de l'humidité relative du bois



Attention à la composition chimique. Les calibrations ne fonctionnent (théoriquement) que si on a calibré avec le même composant !



Tomodensitométrie : Principe et mise en œuvre

Calibration pour la mesure de densité Valeurs Hounsfield



-1000 (air)



Epicéa

0 (eau)

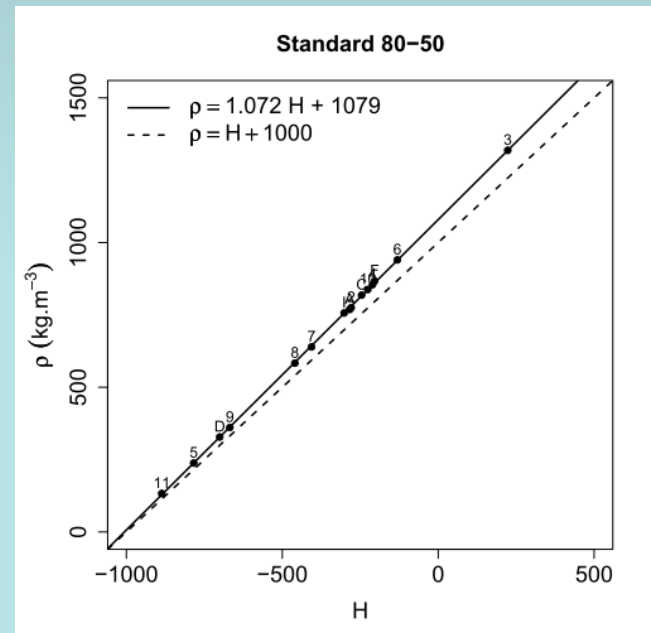
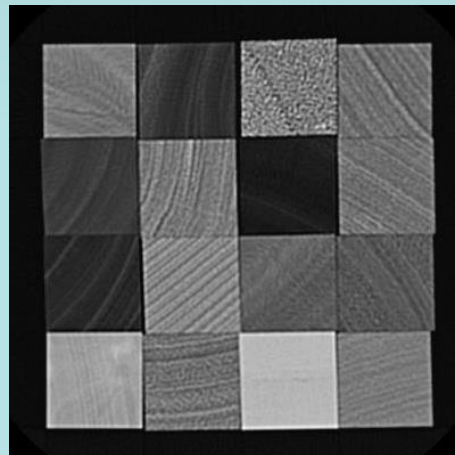
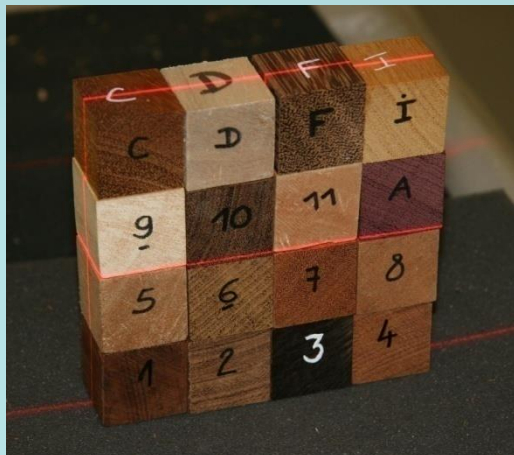


Douglas

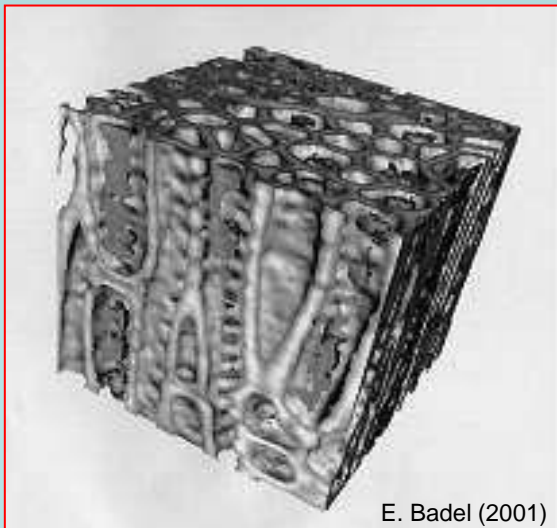
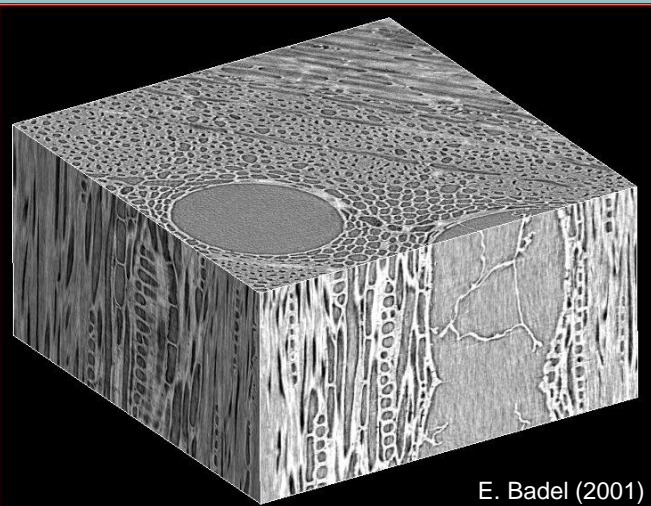
+1000 (os)



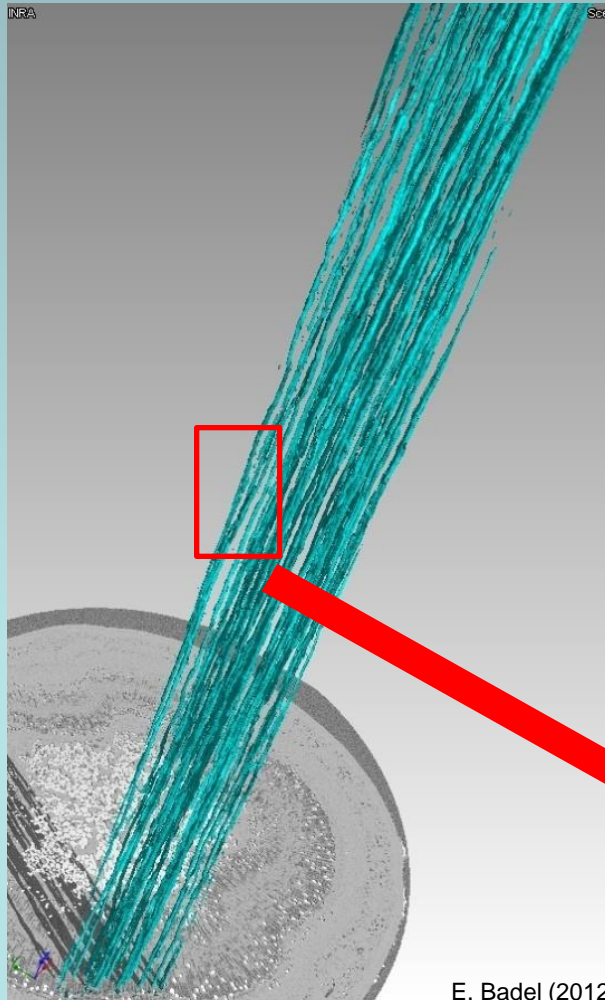
Chêne



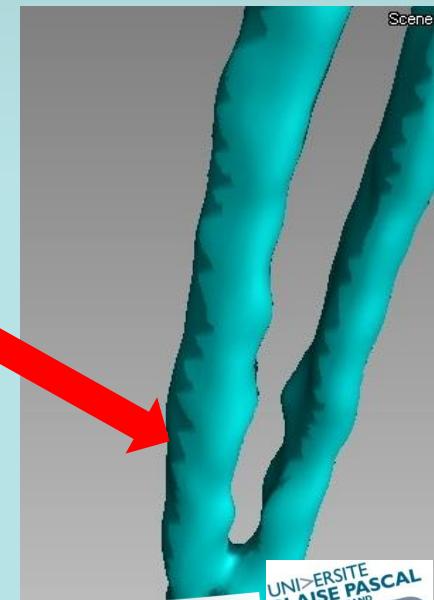
μ CT: Structure anatomique 3D du bois



Parois cellulaires

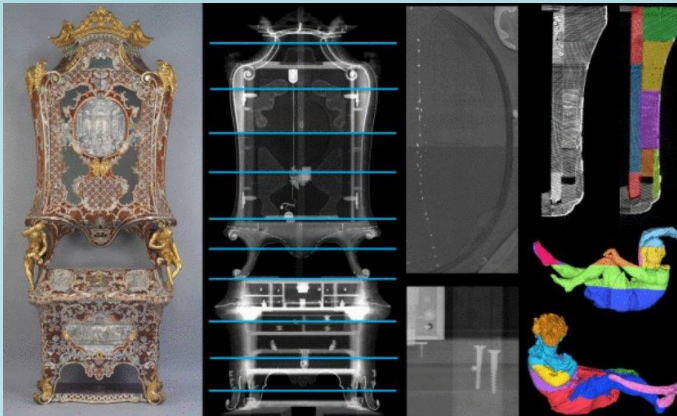
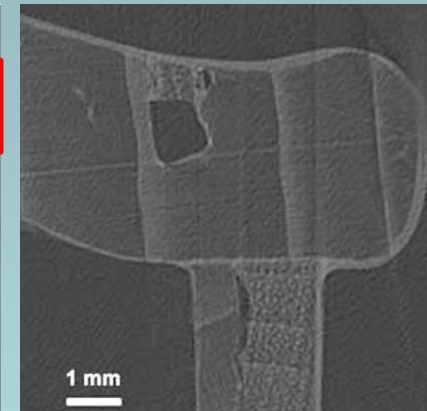
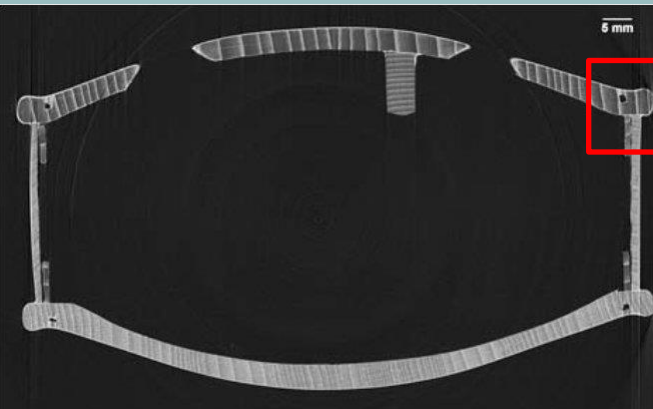
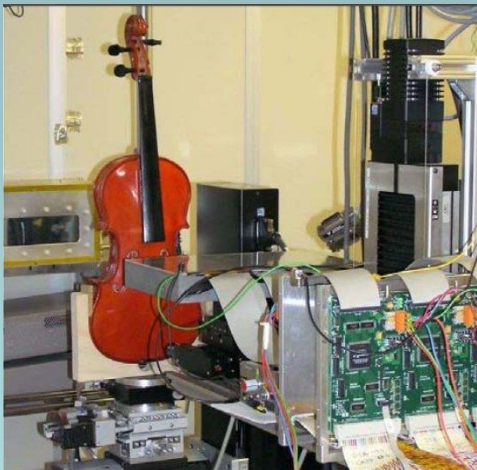


Réseau hydraulique

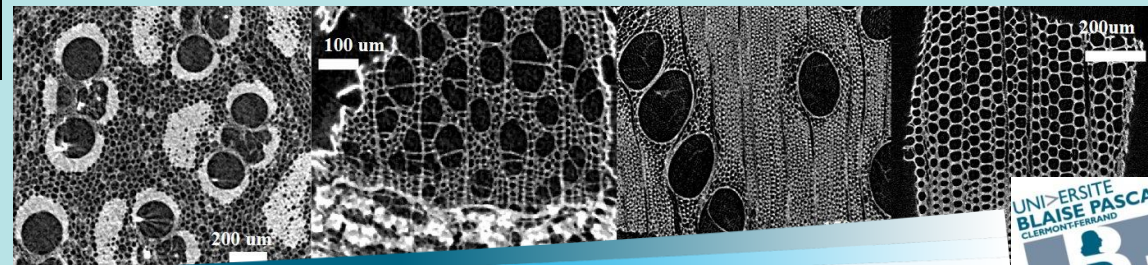


UNIVERSITÉ
BLAISE PASCAL
CLERMONT-FERRAND
BP

Visualisation 3D d'objets (en bois)

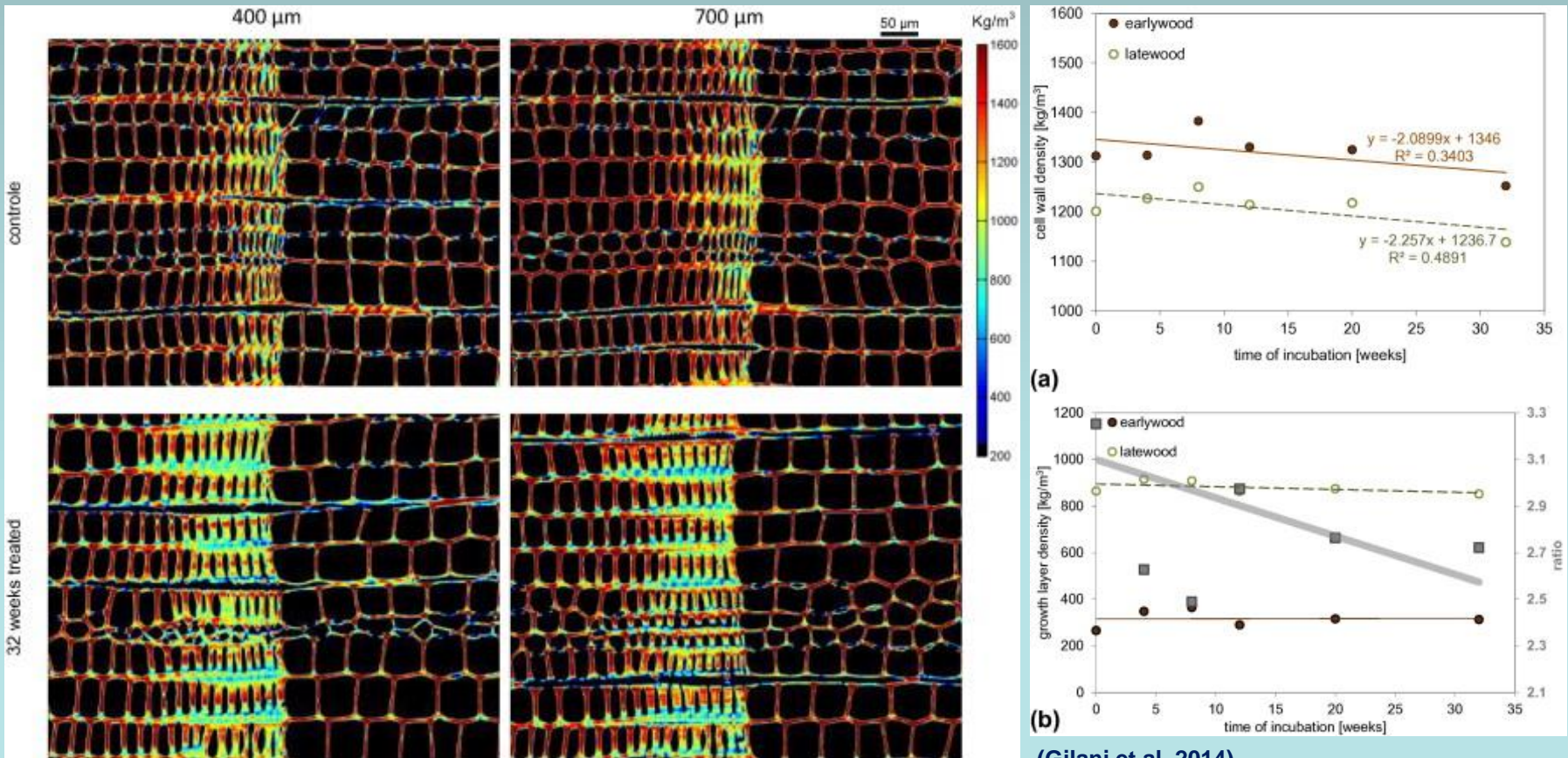


Structure interne
Secret de fabrication
Eventuelles réparations
Aide à la restauration : défauts(fissures....)
Anatomie du bois : détermination d'essences



Suivis de procédés

Biological degradation : effect of chemical of thermal treatments

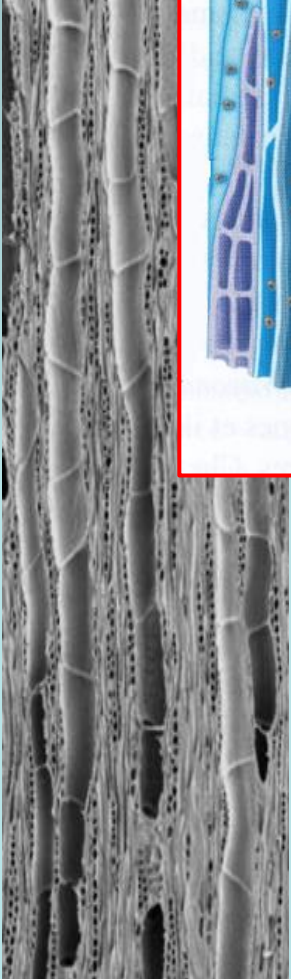


Transverse section of Norway spruce wood showing density distribution at different tomographic slices of untreated (top) and wood treated for 32 weeks with *Physisporinus vitreus* (bottom). Degradation was more significant in latewood.

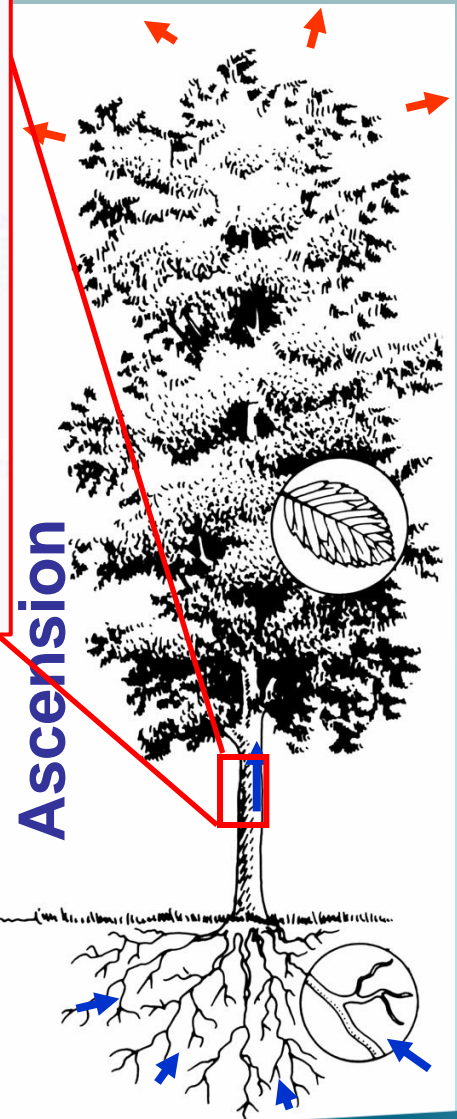
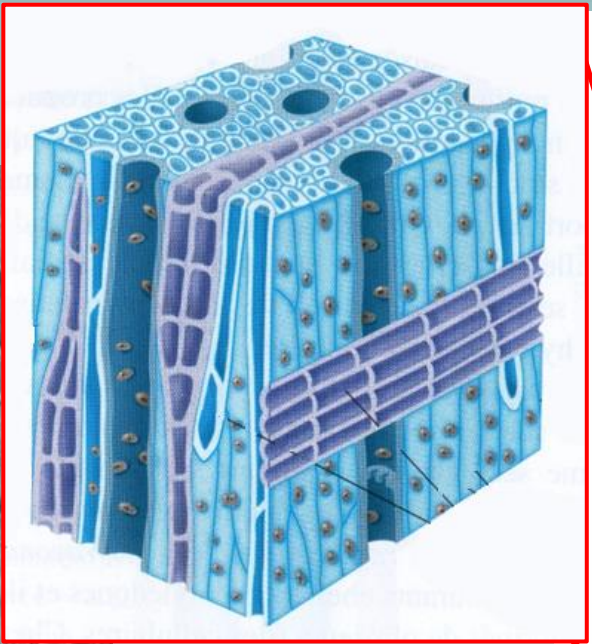


Attention au rayonnement ionisant sur le vivant

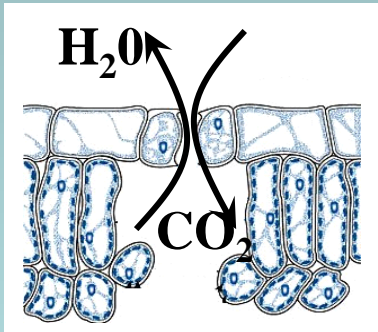
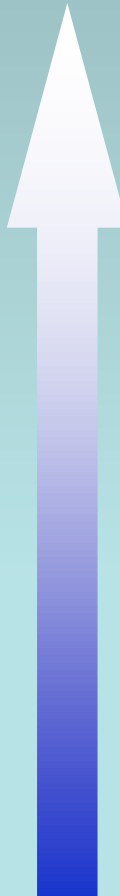




Xylem
under
tension



Evaporation



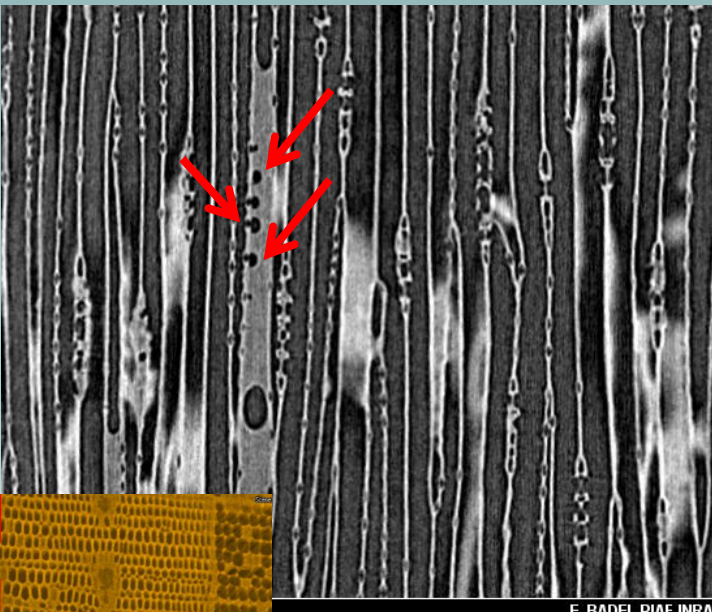
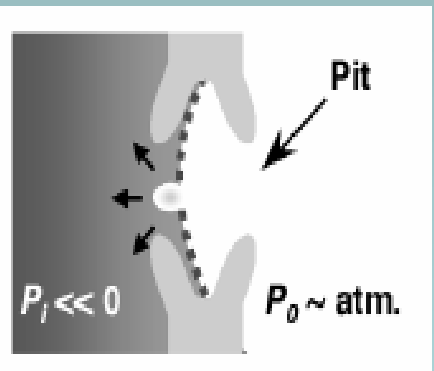
embolism



H. Cochard

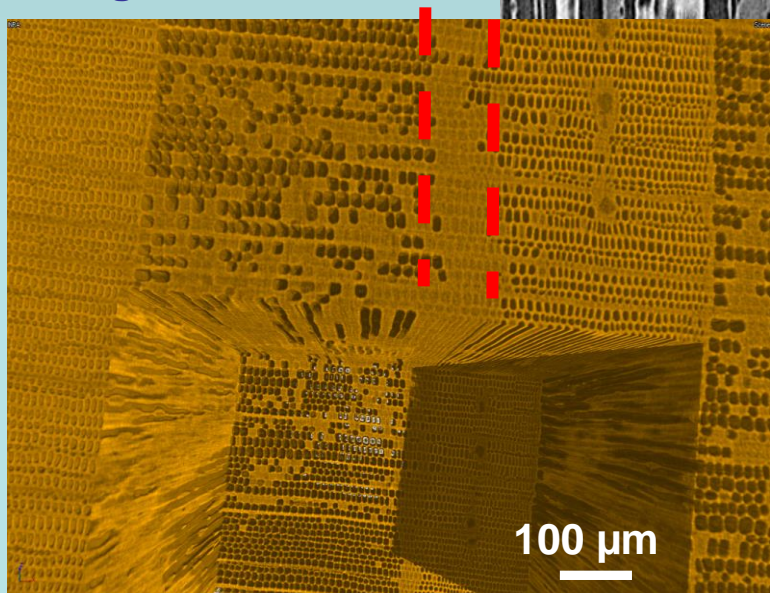
Absorption

Mesure et localisation de l'embolie

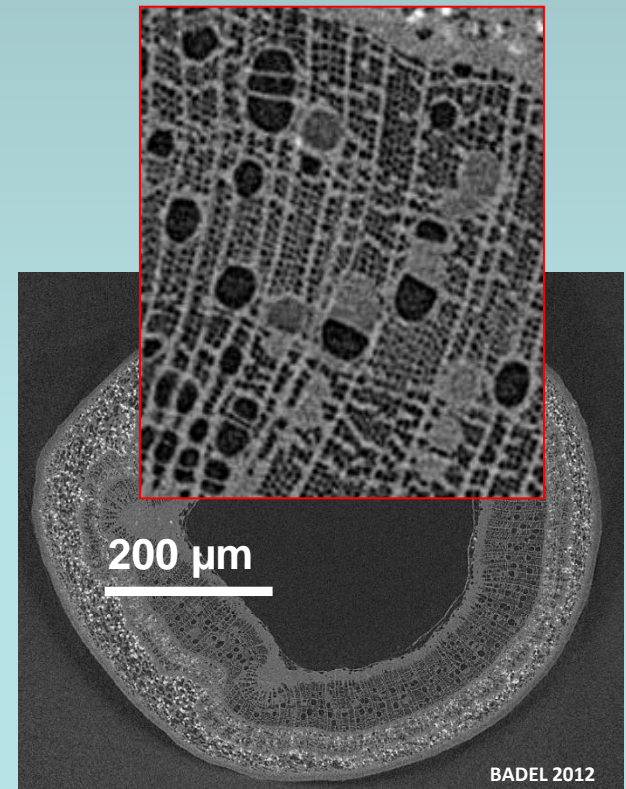


Pinus sylvestris

Douglas

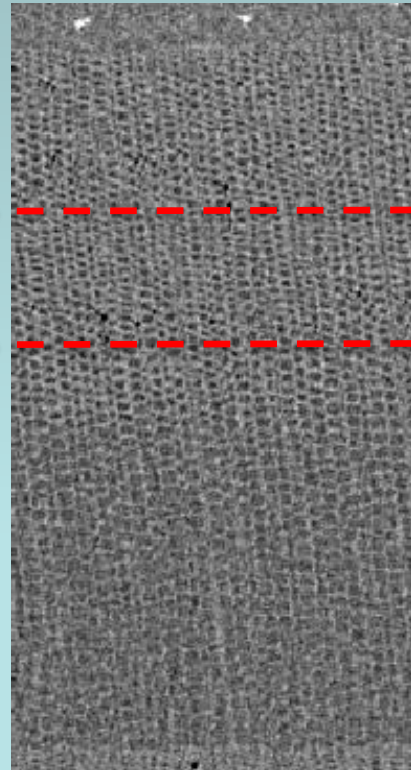


(Dalla Salda et al, JPH 2015)

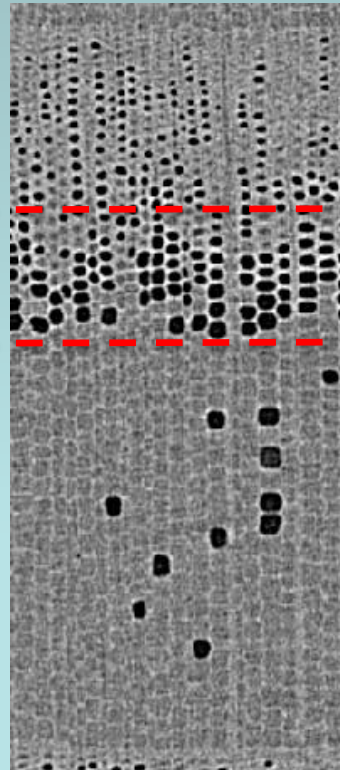


Walnut tree

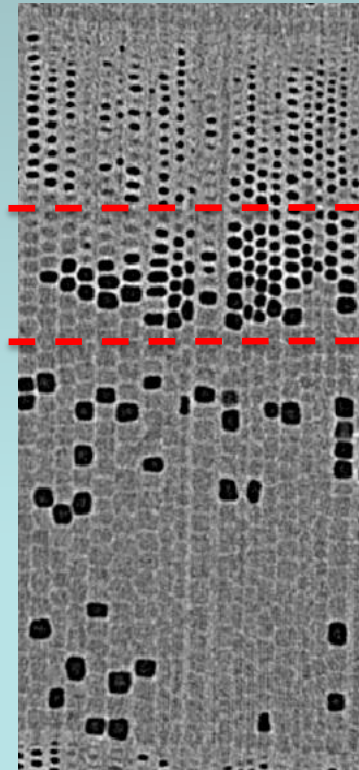
In situ dynamic embolism measurements



Initial state (0 MPa)



-2 MPa

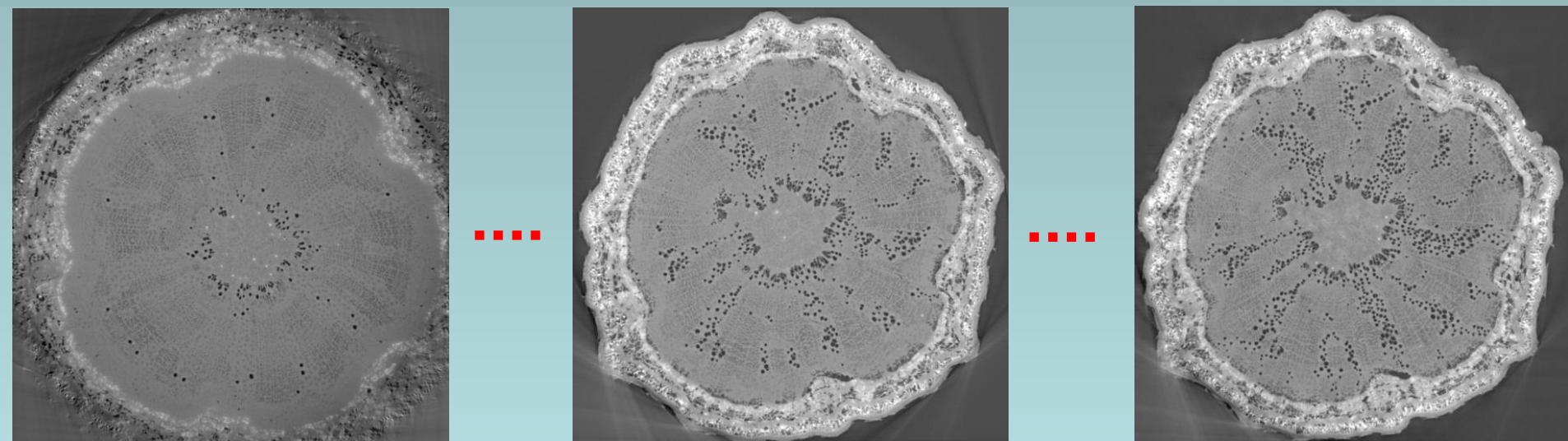


-2.5 MPa

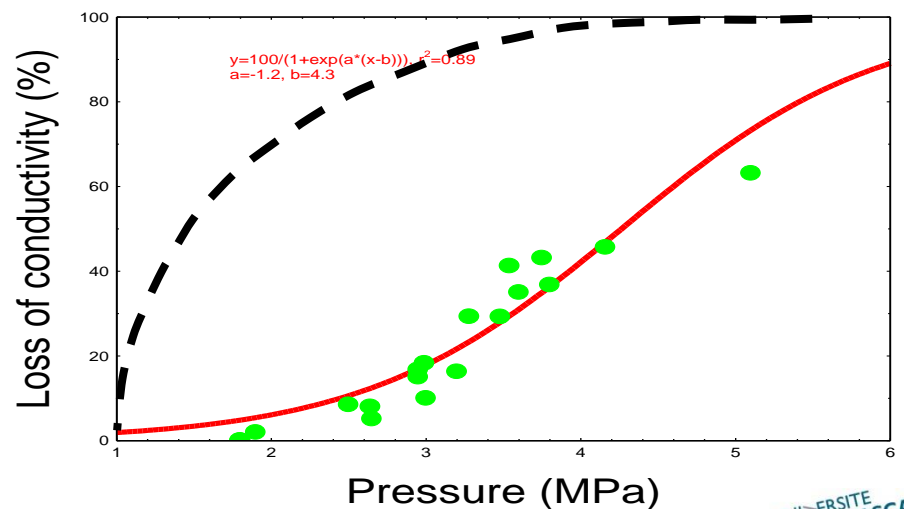
Latewood
(summer)
Earlywood
(spring)

E. Badel

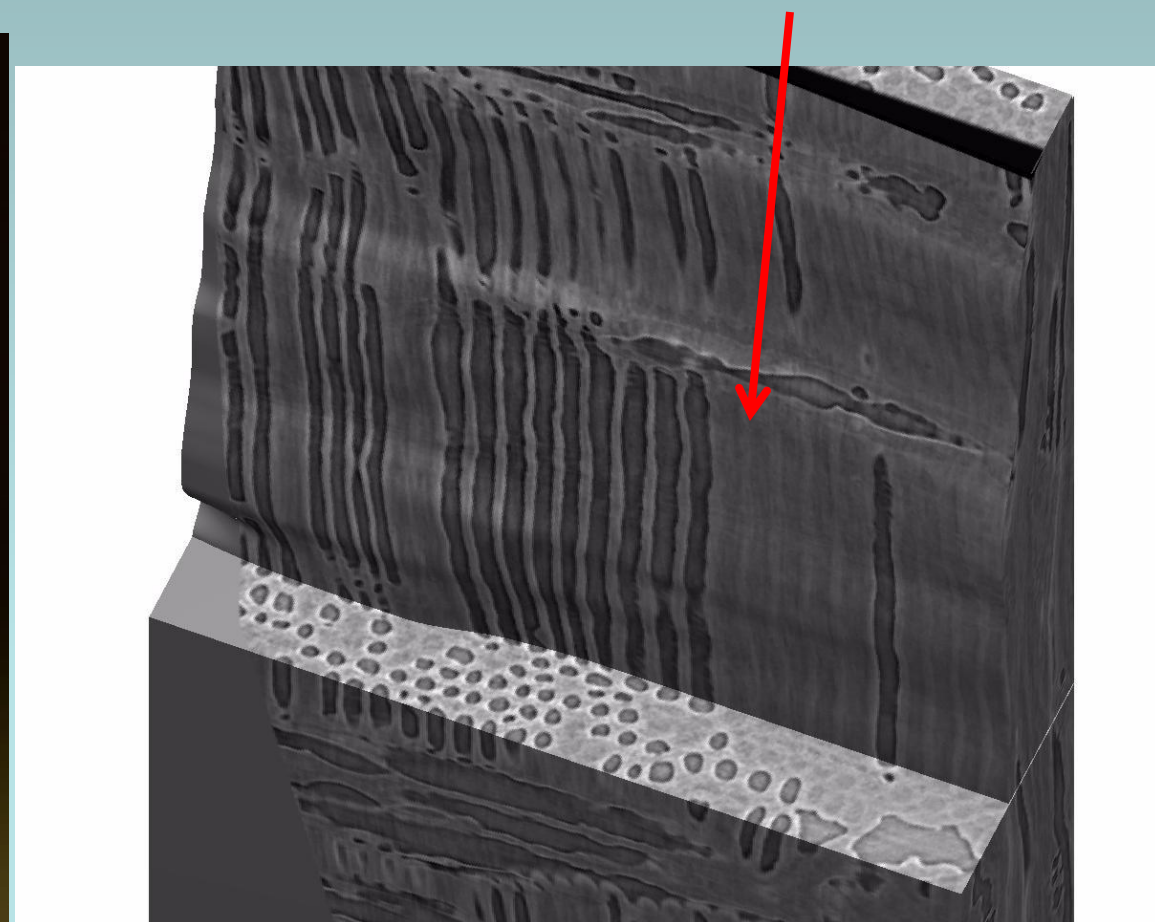
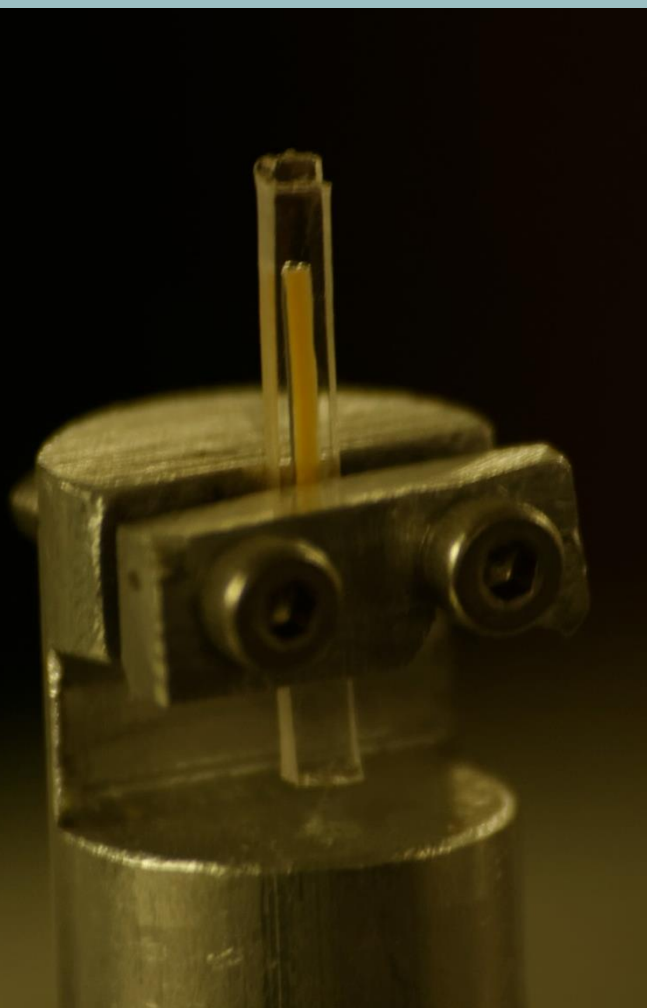
In situ dynamic embolism measurements



J. ruelle



FAST-TOMO : Visualisation rapide de l'embolie (4D)



Scans de 1 seconde

(Ponomarenko et al 2016)

Retrait du bois

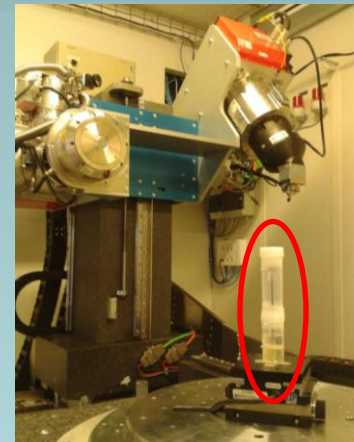


IFSTTAR

Navier

Scans for different moisture contents:

- macroscopic measurements
- X-ray scan
- volumic images correlation
- multiscale observations

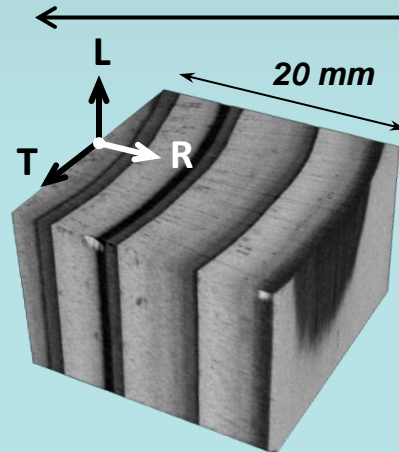


Parafilm
Echantillon
Support en PMMA

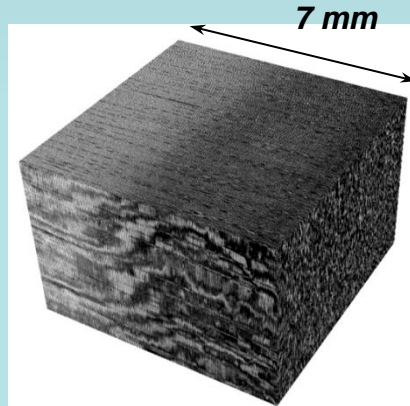
Tige en fibres de carbone

Solution saline sursaturée

Tomographie RX de laboratoire

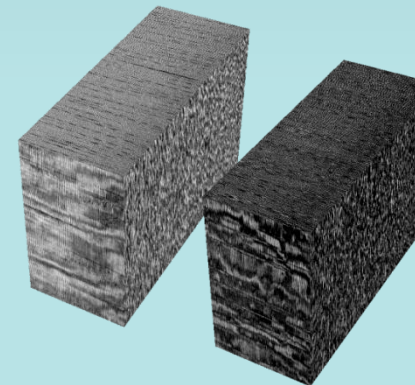


Succession de cernes
Résolution 52 μm

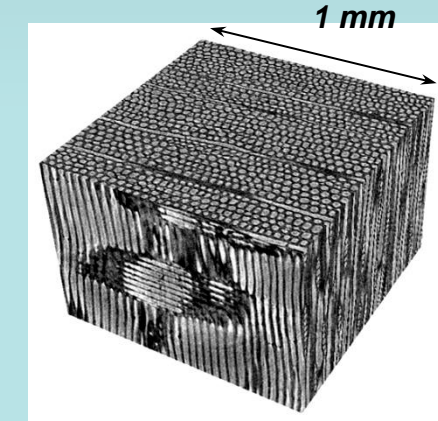


Cerne

Tomographie RX synchrotron



Bois initial et bois final
Résolution 8 μm



Cellules
Résolution 0,87 μm



Retrait du bois

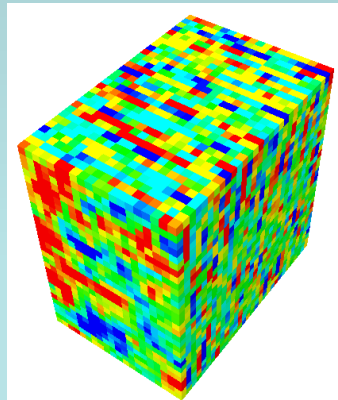
- Etat 0 : humidité relative de 44%
- Etat 1 : humidité relative de 80%

Déformations

moyennes 0 → 1 :

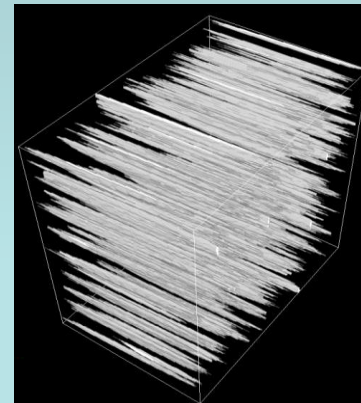
$$\begin{bmatrix} 0,3\% & 0 & 0 \\ 0 & \boxed{0,9\%} & 0 \\ 0 & 0 & 0,2\% \end{bmatrix}_{(R,T,L)}$$

Mesures de
champ
 $\epsilon_{\text{tangentielle}}$



-0.018 0.009 0.036

Structure
anatomique



M. Bonnet

Cf exp. P. Doumalin et JC
Dupré + atelier

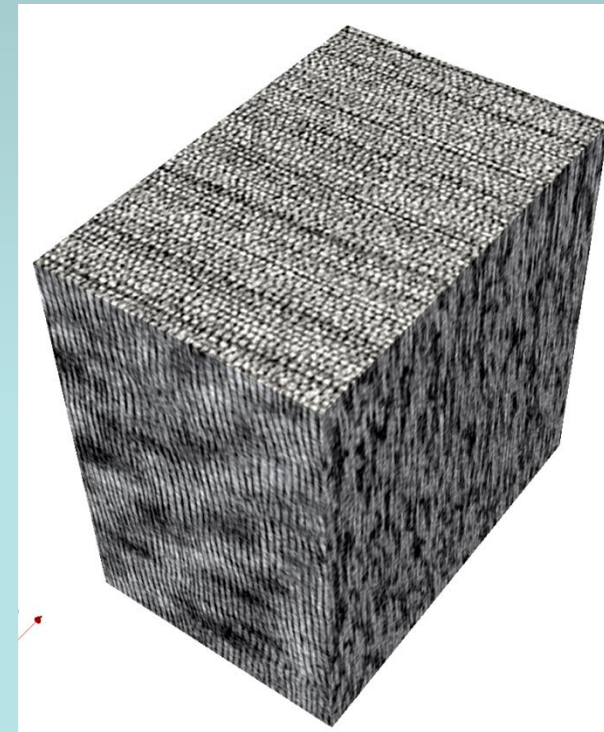
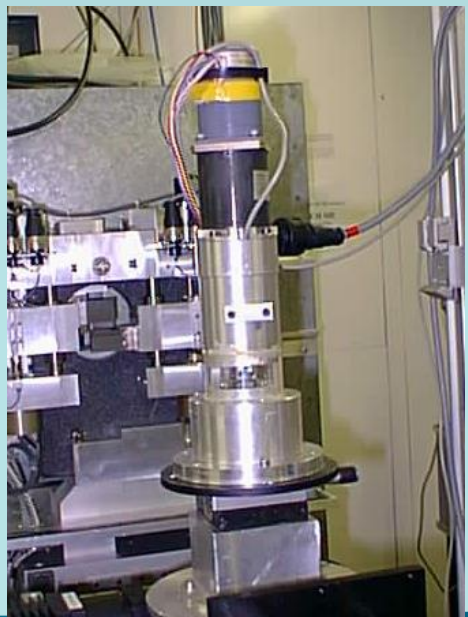
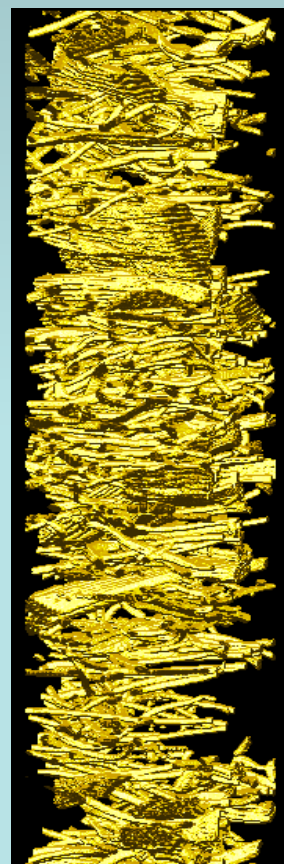
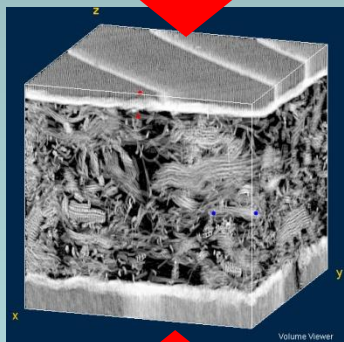
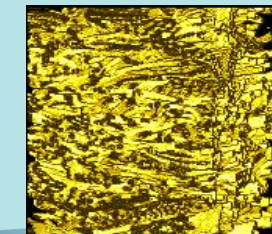
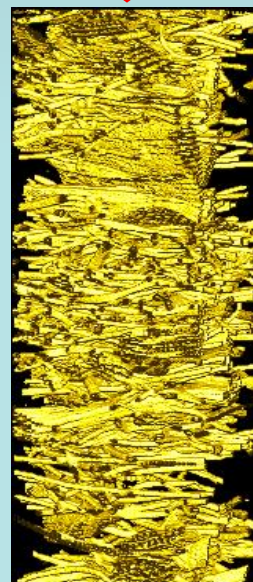
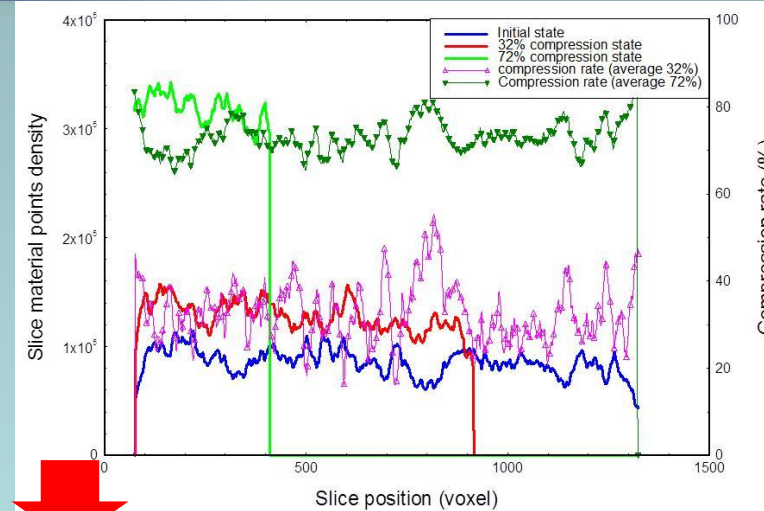


Image 3D de la région d'intérêt analysée par corrélation
d'images (bois initial de Douglas, résolution 8 μm)

Essais mécaniques compression d'un panneau de fibres



(Badel et al 2008)



Essais mécaniques : compression d'un panneau de fibres

Corrélation d'images pour mesure de champ de déplacement : DVC method

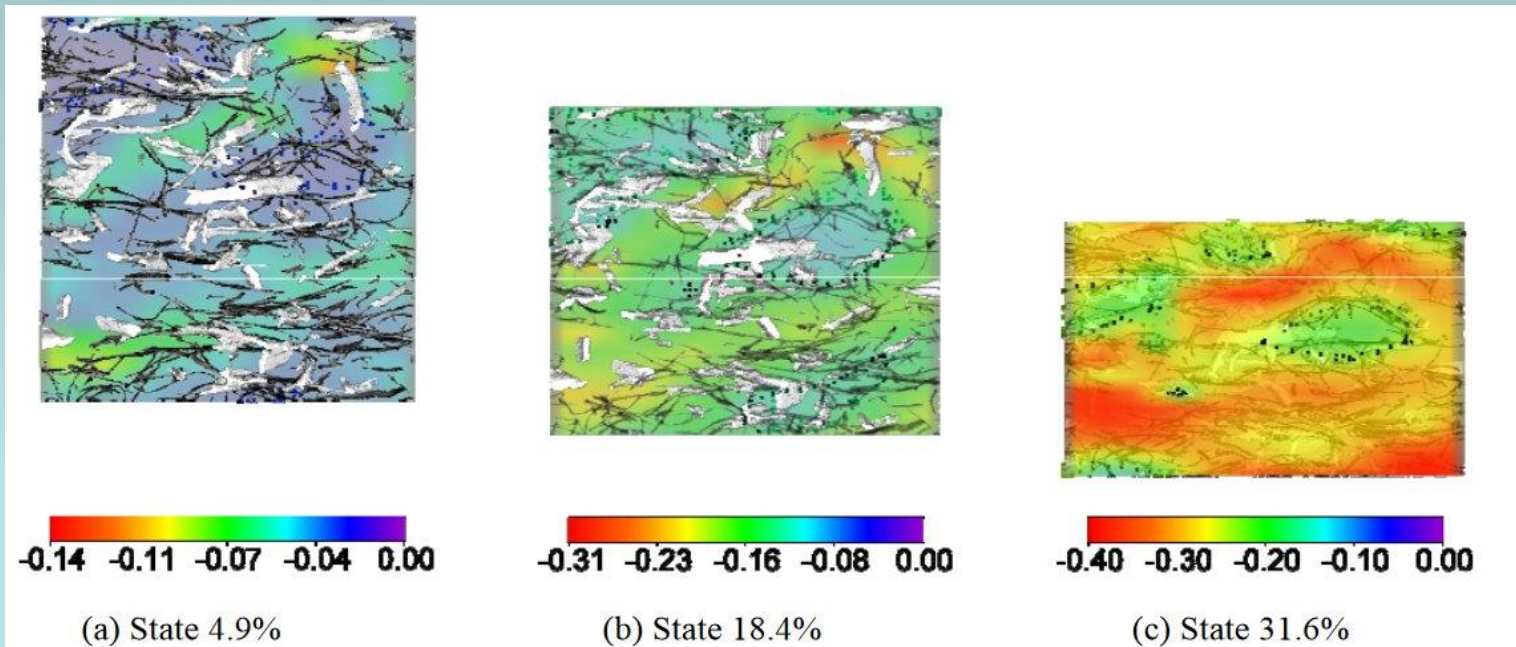
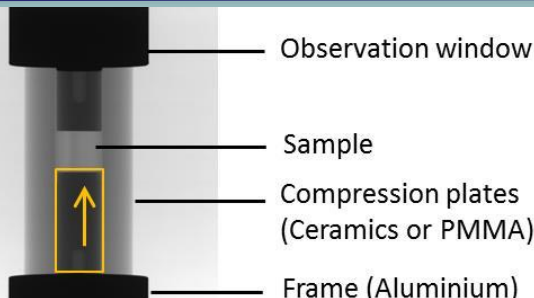


FIG. 7 : Superposition of microstructure (white = wood, black = PES) with Ezz strain for one slice, dashed lines represent less deformed zones

Cf exp. P. Doumalin et JC Dupré + atelier

(Tran et al 2013)

Essais mécaniques : compression radial de bois massif

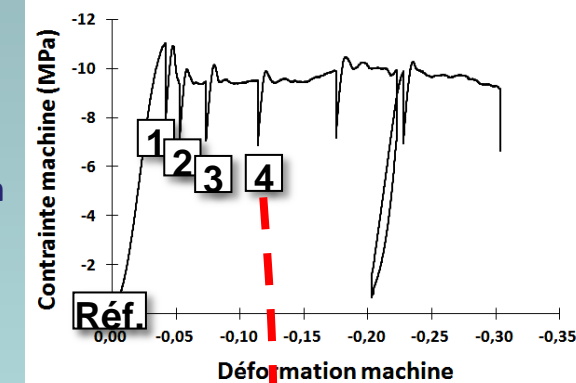
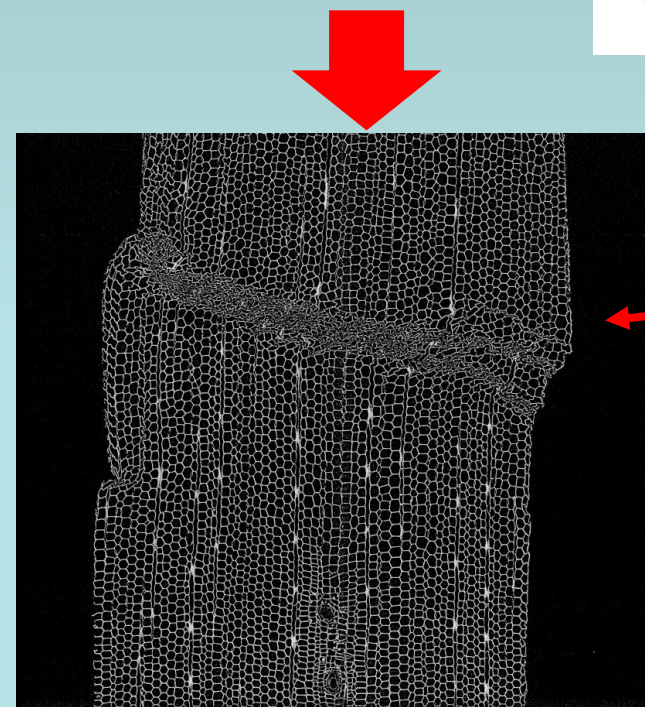
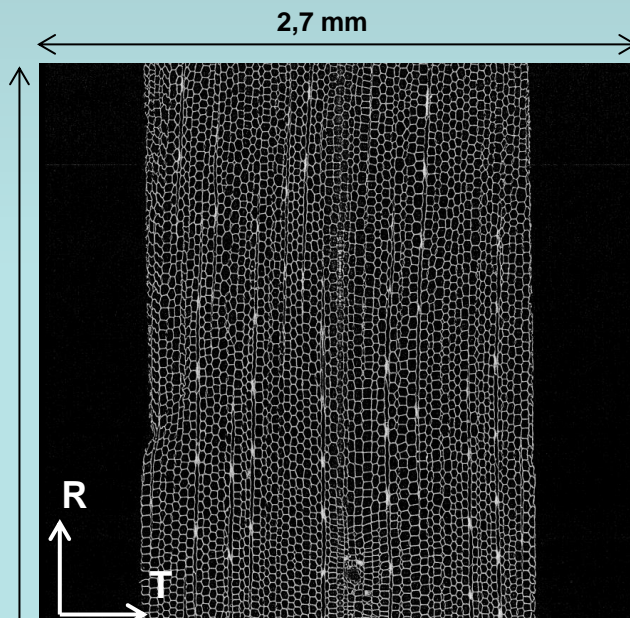


Radiography of the compression device frame

Species: Douglas

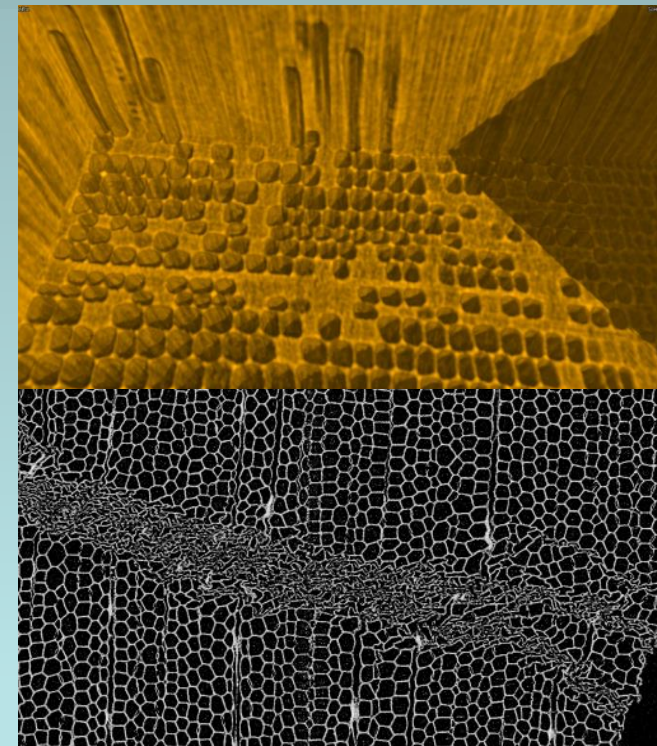
Scale: earlywood cell

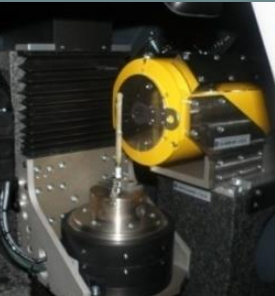
Mechanical testing: radial compression



Conclusions

- Beaucoup d'applications pour le matériau bois : structure, détection de noeuds, de défauts sanitaires (pourriture, attaques de xylophages..), fissuration, etc..
- Des évolutions technologiques permanentes (résolution, champ, vitesse...)
- Outils d'observation non destructive pour la mesure de déformation mécanique (retrait hydrique lors du séchage, comportement mécanique...)
- Difficile de maîtriser température + humidité au sein d'un microtomographe (conditionnement d'échantillons végétaux)
- Encore peu d'appareils "grand champ" ou portables
- Ne pas oublier l'imagerie RMN pour l'observation de l'eau
- Attention aux effets des rayonnements sur le vivant
- On n'a pas parlé de : tomographie de diffusion, bi-énergie....





Merci de votre attention



*Un doute ?
Faites un test !*

